

# تحلیل هیدرودینامیکی بویه‌های دریایی

احمد رضازمانی\* و محمد سعید سعیدی\*

پژوهشکده علوم و تکنولوژی زیر دریا، دانشگاه صنعتی اصفهان

دانشکده مهندسی مکانیک، دانشگاه صنعتی اصفهان

چکیده - در تحلیل دینامیکی شناورهای دریایی تحت تأثیر امواج، طراح نیاز به دانستن نیروهای ناشی از میدان امواج برخورده<sup>۱</sup> و پراکنده<sup>۲</sup> شده از روی شناور دارد. کار حاضر، براساس تئوری جریان پتانسیل به حل میدان اطراف جسم شناور در حضور سطح آزاد و با درنظر گرفتن اثر بستر دریا پرداخته است. از این تئوری، نیروهای موجی وارد بر دو نمونه متداول از بویه‌های دریایی<sup>۳</sup> با بدنه‌های دیسکی و کروی محاسبه شده‌اند. مقایسه این محاسبات با نتایج حاصل از روش هاسکیند مؤید دقت خوب تئوری ارائه شده است.

## Hydrodynamic Analysis of Marine Buoys

A. R. Zamani and M. S. Saidi

Sub Sea R&D Center, Isfahan University of Technology

Department of Mechanical Engineering, Isfahan University of Technology

**ABSTRACT** - In dynamic analysis of floating structures, the designer needs to know the wave forces due to incident and scattered waves on the structure. In this work, the flow field around the body is solved based on the potential theory with considering the free surface and sea bed effects. Using this theory, the wave forces exerted on two typical sea buoys with spherical and disc-type bodies are determined. Comparison of this results with the one obtained using Haskind method shows good accuracy of the present method.

به عنوان نمونه در طراحی سکوهای حفاری، محفظه‌های ذخیره نفت زیردریا، بویه‌های شناور بزرگ و سکوهای مهار شده به وسیله کابل ویسیاری از موارد دیگر چگونگی بارگذاری و نیروهای ناشی از امواج برخورده به سازه مورد نیاز است. به طورکلی دوروش برای بررسی اثر متقابل سازه و آب وجود دارد که هم برای سازه‌های ثابت و هم برای سازه‌های شناور به کار می‌رود. یکی از این روشها به کارگیری معادله موریسون [۱] و

### ۱- مقدمه

توزیع فشار بر روی اجسام ساکن، شناور و یا غوطه‌ورکه در مسیر امواج واقع شده اند و نیروهای هیدرودینامیکی ناشی از آنها از مهمترین مسائل مورد علاقه علوم دریایی مانند آرشیتکتوری دریایی، مهندسی اقیانوس، مهندسی بویه و مهندسی مخازن است.

\* مرتب پژوهشی \*\* دانشیار

## فهرست علامت

لایاسین	$\nabla^i$	تعداد پانلها	N	عدد پراش	a
ضرایب ثابت دستگاه	$\alpha_{ij}$	ضریب میرایی جهت آناشی	$N_{ij}$	مرزهای جامد	B
فعالهای خطی		از حرکت ز	O	ضرایب نیرو یا گشتاور موج	C <sub>i</sub>
دامنه موج	$\eta_0$	مبدأ مختصات	P.V.	عمق بی بعد	d
پتانسیل سرعت	$\Phi$	مقادار اصلی انتگرال	R	المان سطح	ds
پتانسیل سرعت مختلط	$\varphi$	فاصله	R'	سطح آزاد، مقدار نیرو یا گشتاور	F
عدد ثابت به کاررفته در	$K_i$	امواج ناشی از حرکت جسم	(R)	تابع توزیع چشمی یا چاه	f
معادله هاسکیند		فاصله	r	تابع گرین	G
پارامتر فرکانس	$\nu$	امواج پراکنده شده	(S)	شتاب ثقل	g
چگالی	$\rho$	امواج روی سطح جسم	S <sub>B</sub>	عمق دریا	h
فرکانس موج	$\omega$	سطح جسم	t	(I) موج برخورده	i
اختلاف فاز بین ضریب نیرو	$\psi_i$	زمان		اندیس	$\hat{\alpha}$
وموج ورودی		سرعت عمودی روی سطح جسم	U <sub>n</sub>	اندیس	j
اختلاف فاز بین نیرو در	$\psi_j$	سرعت عمودی روی مرز جامد	V <sub>n</sub>	تابع بسل نوع اول مرتبه صفر	J <sub>0</sub>
جهت از حرکت درجهت ز		دامنه نوسانات حرکات جسم	X <sub>j</sub>	عدد موج	k
موقعیت هر نقطه از سطح جسم،	( $\zeta, \eta, \psi$ )	محورهای مختصات ،	(x,y,z)	بعد مشخصه جسم	l
محل قرارگیری چشمی یا چاه		هر نقطه از میدان		ضریب جرم مجازی جهت i	M <sub>ij</sub>
		میدان سیال اطراف جسم	A	ناشی از حرکت ز	

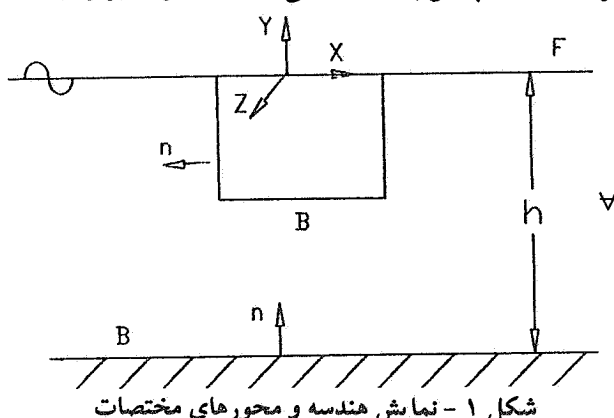
استفاده شده است. اگر چه نتایج کار حاضر در مورد سازه‌های ثابت نیز قابل استفاده است، در این مقاله تنها به نتایج مربوط به شناورهای دریایی می‌پردازیم.

دیگری استفاده از نظریه جریان پتانسیل است. موریسون نیروی وارد بر سازه را حاصل مجموع نیروهای پسا و اینرسی می‌داند.

در مقابل روش موریسون، نظریه پراکندگی امواج جریان سیال را از نوع پتانسیل در نظر می‌گیرد.

بععد مشخصه سازه در مقایسه با طول موج و ارتفاع موج برخورده تعیین کننده نوع روش مناسب است [۱]. برای سازه‌هایی که بعد مشخصه آنها کسر قابل توجهی از طول موج باشد می‌توان از آثار لزجت در برابر آثار پراکنده شدن امواج از روی سازه صرف نظر و از نظریه جریان پتانسیل استفاده کرد. در حالی که اگر بعد مشخصه سازه در مقایسه با طول موج و ارتفاع موج برخورده کوچک باشد، تأثیر نیروی پسا و نیروی اینرسی مهم خواهد بود و باید از روش موریسون بهره گرفت.

کار حاضر روشی برای تحلیل هیدرودینامیکی شناورهای دریایی با شکل دلخواه و در عمقهای مختلف دریا با استفاده از نظریه جریان پتانسیل ارائه می‌کند. در میان شناورهای دریایی، کاربرد بویهای در محیط دریا زجنبهای گوناگونی مطرح است و به دلیل شرایط خاصی که یک بویه درایجاد یک پایگاه شناور پایدار دارد، دانستن نیروهای وارد برآن اهمیت دو چندان می‌یابد. از نتیجه مستقیم این کار در طراحی بویهای اقیانوس شناسی و هواشناسی



عدد موج است. حضور جسم و نوسان آن در میدان امواج باعث پیدایش اختلالات اضافی می‌شود که این اختلالات همانند موجهای میرایی عمل می‌کنند که گویا از جسم سرچشمه گرفته‌اند و به سمت دوردست حرکت می‌کنند. این موضوع شرط مرزی جدیدی را با عنوان "شرط مرزی تشبعشی"<sup>۵</sup> در مسئله وارد می‌کند که بیان ریاضی آن به صورت زیر است:

$$\lim_{r_0 \rightarrow \infty} \sqrt{r_0} \left( \frac{\partial}{\partial r} - ik \right) (\varphi - \varphi^{(I)}) = 0 \quad (7)$$

در این معادله  $r^2 = x^2 + z^2$  فاصله هر نقطه از میدان در صفحه  $x-z$  نسبت به مرکز مختصات است. با استفاده از خاصیت خطی کردن روابط، می‌توان اثر متقابل موج و جسم شناور را به دو مسئله مجزا تبدیل کرد. یکی مسئله پراکنده<sup>۶</sup> است که در آن تمامی موزهای موجود در حضور موج برخوردي ثابت درنظر گرفته می‌شوند. دیگری مسئله تشبعشی<sup>۷</sup> است که میدان امواج متشرشده در اثر نوسانهای جسم بررسی می‌شود. اگر پتانسیل جریان مربوط به این دو مسئله را به ترتیب به  $\varphi^{(S)}$  و  $\varphi^{(R)}$  نشان دهیم، پتانسیل کل از جمع پتانسیلهای زیر حاصل می‌شود:

$$\varphi = \varphi^{(I)} + \varphi^{(S)} + \varphi^{(R)} \quad (8)$$

با توجه به خطی بودن معادله‌ها، می‌توان پتانسیل  $\varphi^{(R)}$  را ناشی از پتانسیلهای شش گانه  $\varphi_i$  دانست. به طوری که:

$$\varphi^{(R)} = \sum_{i=1}^6 \varphi_i \quad i = 1, 2, \dots, 6 \quad (9)$$

در معادله (۹) مقادیر  $i = 1, 2, 3, 4, 5, 6$  مربوط به حرکت انتقالی و مربوط به حرکت دورانی حول همین محورهاست. شرط مرزی سرعت عمودی روی سطح جسم متناسب با دو مسئله اخیر به صورت زیر نوشته می‌شود:

$$\frac{\partial \varphi^{(S)}}{\partial n} = - \frac{\partial \varphi^{(I)}}{\partial n} \quad (10)$$

$$\nabla' \Phi = 0 \quad \text{در } A \quad (1)$$

در این معادله  $\Phi$  بیانگر پتانسیل سرعت است که وابستگی زمانی آن به صورت نوسانی و به شکل زیر بیان می‌شود [۲]:

$$\Phi = \operatorname{Re}[\rho e^{-ikx}] \quad (2)$$

در این معادله  $\omega$  فرکانس موج برخوردي به شناور،  $k$  عدد موهومند،  $\varphi$  پتانسیل مختلط و  $\operatorname{Re}$  نشان‌دهنده مقدار حقیقی عدد مختلط است. وابستگی زمانی سایر متغیرهای موجود در مسئله را نیز به طریق مشابه و به کمک تابع  $e^{-ikx}$  وارد می‌کنیم. از ترکیب معادله‌های (۱) و (۲) داریم:

$$\nabla' \varphi = 0 \quad \text{در } A \quad (3)$$

شرایط مرزی را می‌توان به صورت زیر بیان کرد:

$$\frac{\partial \varphi}{\partial y} - \frac{\omega}{g} \varphi = 0 \quad \text{روی } F \quad (4)$$

$$\frac{\partial \varphi}{\partial n} = V_n \quad \text{روی } B \quad (5)$$

معادله (۴) ترکیب شرط‌های سینماتیکی و دینامیکی خطی شده روی سطح آزاد و معادله (۵) شرط سرعت عمودی روی مرزهای جامد را نشان می‌دهد [۲]. شرط (۵) در بردارنده شرط مرزی روی بستر دریا نیز هست. برای این کار کافی است که متغیر  $V_n$  را در معادله (۵) صفر اختیار کنیم.

اگر فرض شود موج برخوردي به سازه شناور درجهت مثبت محور  $x$  ها حرکت می‌کند و به صورت تخت<sup>۸</sup> باشد، براساس نظریه امواج خطی [۱]، پتانسیل موج برخوردي به جسم به شکل زیر خواهد بود:

$$\varphi^{(I)} = - \frac{i g \eta_0}{\omega} \frac{\cosh(k(y+h))}{\cosh(kh)} e^{ikx} \quad (6)$$

در این معادله،  $\varphi^{(I)}$  پتانسیل موج برخوردي،  $\eta_0$  دامنه موج و  $k$

به  $f(x,y,z)$  تبدیل شده و از انتگرال خارج می‌شود. می‌توان ثابت کرد که انتگرال  $\frac{\partial G}{\partial n}$ ، به  $-2\pi$ -میل می‌کند. برای حل معادله انتگرالی بالا و محاسبه  $f$ ، سطح جسم را به تعدادی سطوح کوچکتر به نام (پانل) با شکل هندسی مشخص تقسیم می‌کنیم و بر روی هر سطح یک چشمۀ یا چاه قرار می‌دهیم. با اعمال معادله (۱۳) روی هر کدام از این سطوح کوچکتر داریم:

$$-f(x_i, y_i, z_i) + \sum_{\substack{j=1 \\ i \neq j}}^N f_j \alpha_{ij} = 2V_{ni} \quad i, j = 1, 2, \dots, N \quad (14)$$

در این معادله  $N$  تعداد کل تقسیمهای وزیرنوسیهای  $i$  و  $j$  نشان دهنده شمارۀ پانل مورد نظر است. ضرایب  $\alpha_{ij}$  از معادله زیریه دست می‌آیند:

$$\alpha_{ij} = \frac{1}{2\pi} \int_{S_j} \frac{\partial G}{\partial n}(x_i, y_i, z_i, \xi, \eta, \zeta) ds_j \quad (15)$$

با محاسبۀ مقادیر  $G$  می‌توان پتانسیل سرعت، توزیع فشار روی سطح جسم و نیروهای هیدرودینامیکی را براساس روش‌های معمول در حل جریان پتانسیل نادائم واستفاده از معادله برنولی تابع زمان خطی شده به دست آورد.

#### ۴- شکل مناسب تابع گرین

همان‌گونه که گفته شد تابع گرین باید در معادله لاپلاس صدق کند و بتواند شرایط مرزی مربوط به سطح آزاد را به همراه شرط تشعشعی ارضاء کند. براین اساس یکی از شکل‌های معروف تابع گرین توسط وی‌هاوزن و لیتون [۲۳] از حل معادله لاپلاس و شرایط مرزی مربوطه به صورت زیر بیان شده است:

$$G = \frac{1}{R} + \frac{1}{R'} + 2P.V.\int_0^\infty$$

$$\frac{(\mu + \nu) e^{-\mu h} \cosh(\mu + h) \cosh(\eta + h)}{\mu \sinh(\mu) - \nu \cosh(\mu)} J_0(kr) d\mu$$

$$+ \hat{I} \frac{2\pi(k' \nu')}{(k' - \nu')} \cosh(k(\eta + h)) \cosh$$

$$\frac{\partial \varphi^{(R)}}{\partial n} = U_n \quad (B) \quad (11)$$

در معادله (۱۱)،  $U_n$  سرعت عمودی سطح جسم را نشان می‌دهد. بدین ترتیب اثربازی جسم و موج را می‌توان از معادله (۳) و اعمال شرایط مرزی (۷)، (۱۰) و (۱۱) به دست آورد.

#### ۳- روش انتگرالی حل معادله‌ها

در روش انتگرالی، میدان جریان با توزیع چشمۀ یا چاه را در سطح جسم مدل می‌شود. برای پتانسیل دلخواهی در هر نقطه میدان می‌توان نوشت:

$$\varphi(x, y, z) = \frac{1}{4\pi} \int_{S_B} f(\xi, \eta, \zeta) G(x, y, z, \xi, \eta, \zeta) ds \quad (12)$$

در این معادله  $f$  تابع توزیع قدرت چشمۀ یا چاه و  $G$  پتانسیل آن است. همچنین  $S_B$  سطح جسم،  $(\xi, \eta, \zeta)$  مختصات چشمۀ یا چاه و  $ds$  المان کوچکی از سطح را نشان می‌دهد. تابع  $G$  که از آن تحت عنوان تابع گرین نیز یاد می‌شود، دارای خواص زیراست:

- ۱- در تمامی محدوده سیال در معادله لاپلاس صدق می‌کند.
- ۲- این تابع روی خود چشمۀ یا چاه نامعین است.

۳- تابع گرین داده شده شرایط مرزی سطح آزاد، بسترهای و نهایتاً شرط تشعشعی را ارضاء می‌کند. ویژگیهای تابع گرین به گونه‌ای است که برای به دست آوردن پتانسیل سرعت تنها باید شرط مرزی سرعت عمودی را روی معادله (۱۲) اعمال کرد.

با اعمال شرط مرزی سرعت عمودی روی معادله (۵) داریم:

$$-\frac{1}{2} f(x, y, z) + \frac{1}{4\pi} \int_{S_B} f(\xi, \eta, \zeta) \frac{\partial G}{\partial n}(x, y, z, \xi, \eta, \zeta) ds = V_n \quad (13)$$

عبارت اول در سمت چپ معادله (۱۳)، با درنظر گرفتن تأثیر چشمۀ در محل قرارگیری خود حاصل شده است. باید داشت که ماهیت تابع  $G$  مانند پتانسیل چشمۀ یا چاه است. از این رو هر گاه نقطه‌ای از میدان روی چشمۀ قرارگیرد، تابع  $G$  نامعین می‌شود. در صورتی که  $f(x, y, z)$  بر روی یکی از نقاط سطح  $(\xi, \eta, \zeta)$  قرار گیرد، تابع  $(\xi, \eta, \zeta)$

$$C_{ij} = \frac{F_{ij} (\max) e^{\hat{i}\psi_{ij}}}{\rho \omega^r I^r x_{oj}} \quad i = 4, 5, 6 \\ j = 1, 2, \dots, 6 \quad (16)$$

در این معادله‌ها  $F_i$  ( $i = 1, 2, 3$ ) بیانگر نیرو و درجه‌های مختصات و  $F_i$  ( $i = 4, 5, 6$ ) بیانگر گشتاور نیروی امواج است. مقادیر این نیرو به کمک توزیع فشار ناشی از پتانسیلهای  $\varphi^{(I)}$  و  $\varphi^{(S)}$  محاسبه‌پذیراست. همچنین  $F_{ij}$  نشان دهنده نیرو یا گشتاور اعمالی درجهت  $\hat{i}$  ناشی از حرکت درجهت  $\hat{j}$  است که به کمک توزیع فشار ناشی از پتانسیل  $\varphi^{(R)}$  (یا مقادیر  $\varphi_1$  تا  $\varphi_6$ ) به دست می‌آید. زاویه  $\hat{i}$  اختلاف فاز بین نیروی اعمالی و موج ورودی،  $\hat{j}$  اختلاف فاز بین مودهای حرکت با موج ورودی و متغیر  $1$  بعد مشخصه جسم را نشان می‌دهد. می‌توان با استفاده از معادله حرکت جسم شناور نشان داد که بخش حقیقی عبارت  $C_{ij}$  که در شتاب حرکت ضرب می‌شود نقش جرم مجازی<sup>۹</sup> را دارد و بخش موهومی آن به میرایی<sup>۱۰</sup> حرکت باز می‌گردد [۱] :

$$C_{ij} = -M_{ij} - \hat{i}N_{ij} \quad i, j = 1, 2, \dots, 6 \quad (19)$$

که در آن  $M_{ij}$  ماتریس جرم مجازی و  $N_{ij}$  ماتریس میرایی است.

$$(k(y + h)) j.(kr) \quad (16)$$

در معادله (۱۶)،  $j$  تابع بسل نوع اول مرتبه صفر است. متغیرهای  $r, R, R'$  نیز به شکل زیر هستند.

$$r = \frac{\omega^r}{g} = k \tanh(kr) \quad (1-17)$$

$$R = [(x - \xi)^2 + (y - \eta)^2 + (z - \zeta)^2]^{1/2} \quad (2-17)$$

$$R' = [(x - \xi)^2 + (y + 2h - \eta)^2 + (z - \zeta)^2]^{1/2} \quad (3-17)$$

$$r = [(x - \xi)^2 + (z - \zeta)^2]^{1/2} \quad (4-17)$$

علامت P.V. در معادله (۱۶) مقدار اصلی انتگرال رانشان می‌دهد. علت آن این است که هرگاه  $k = \mu$  باشد، انتگرال نامعین می‌شود.

## ۵- ضرایب نیرو و گشتاور

مقادیر بی بعد نیرو یا گشتاور به صورت زیربین می‌شوند:

### ۱- ضرایب نیروی موج

$$C_i = \frac{F_i (\max) e^{\hat{i}\psi_i}}{\rho g l^r \eta} \quad i = 1, 2, 3$$

### ۲- ضرایب گشتاور موج

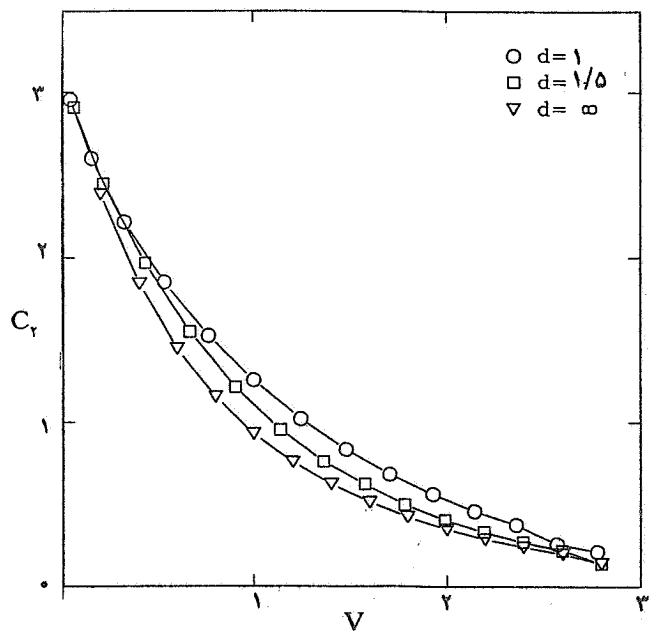
$$C_i = \frac{F_i (\max) e^{\hat{i}\psi_i}}{\rho g l^r \eta} \quad i = 4, 5, 6$$

### ۳- ضرایب نیروهای حاصل از حرکت جسم

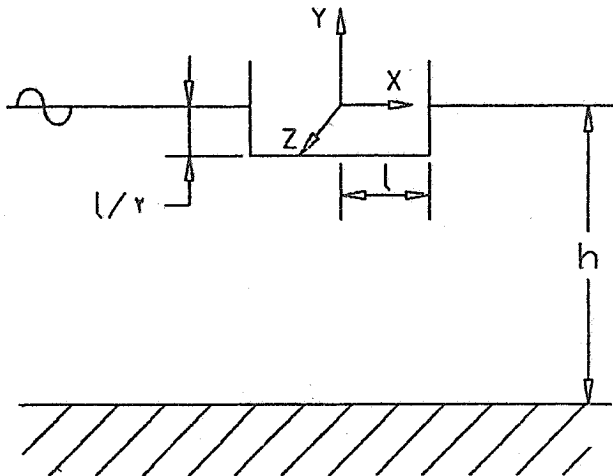
$$C_{ij} = \frac{F_{ij} (\max) e^{\hat{i}\psi_{ij}}}{\rho \omega^r I^r x_{oj}} \quad i = 1, 2, 3 \\ j = 1, 2, \dots, 6$$

### ۴- ضرایب گشتاور حاصل از حرکت جسم

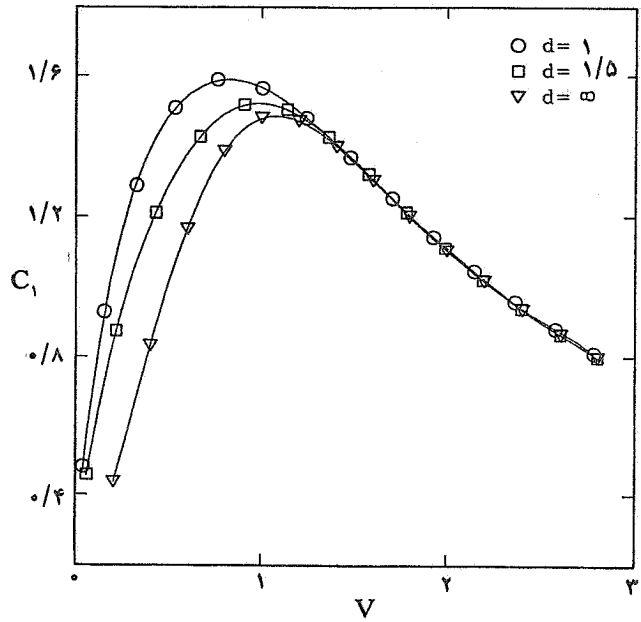
$$\nu = \frac{\omega^r}{g} = a \tanh(ad) \quad (20)$$



شکل ۴ - ضریب نیروی قائم وارد بر دیسک



شکل ۲ - دیسک شناور



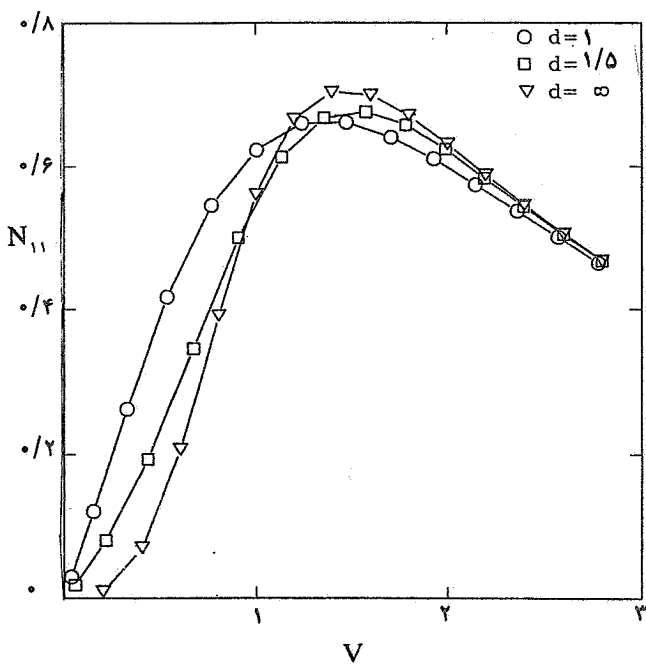
شکل ۳ - ضریب نیروی افقی وارد بر دیسک

میل می‌کند. در این حالت دراثر کوتاه بودن طول موج، تأثیر عمق مؤثر نیست و آثار ناشی از امواج نمی‌تواند تا بستر دریاگسترش یابد. به دلیل وجود قاعده پایین دیسک شناور، ضریب نیروی قائم وارد بر دیسک صفر نیست. در شکل (۴)، تغییرات این ضریب بر حسب پارامتر فرکانس آمده است. مجدداً برای مقادیر بزرگ  $\gamma$ ، منحنیهای به یکدیگر نزدیک می‌شوند و رفتارشان مشابه آبهای عمیق است. در حالت حدی و برای مقادیر کوچک  $\gamma$ ، نیروی وارد تنها شامل نیروی هیدروستاتیکی است. در این حالت ضریب نیروی قائم به عدد  $\pi$  میل می‌کند. از این شکل می‌توان دریافت که کاهش عمق به معنی نزدیک شدن قاعده پایین دیسک به بستر دریا است. در هنگام عبور موج از فاصله بین دیسک و بستر دریا، توزیع فشار قوی‌تر و به دنبال آن نیروی قائم بزرگتر ایجاد می‌شود. شکل (۵) اختلاف فاز بین موج ورودی و نیروی افقی وارد بر دیسک را بر حسب رادیان نشان می‌دهد.

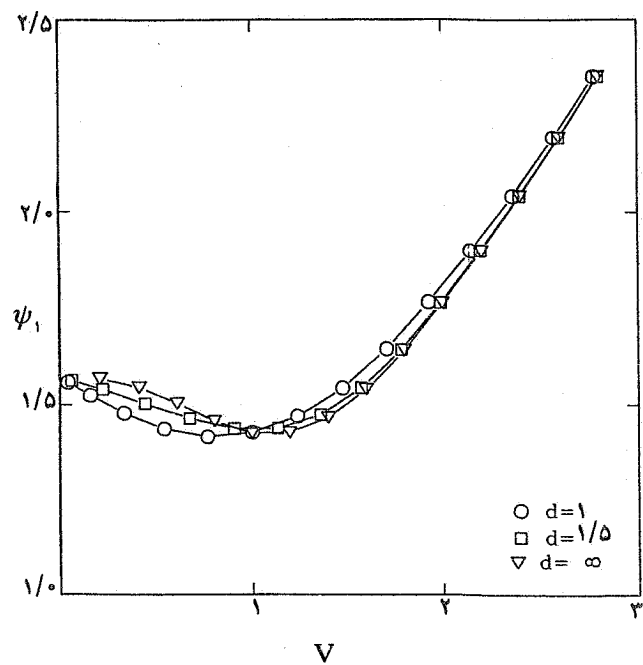
اکنون به بررسی نتایج حاصل از مسئله تشعشع می‌پردازیم. به عنوان مثال، تغییرات جرم مجازی و میرایی حرکات افقی و قائم دیسک را در نظر می‌گیریم. شکل‌های (۶)، (۷)، (۸) و (۹) به ترتیب تغییرات جرم مجازی حرکت افقی، میرایی حرکت افقی، جرم مجازی حرکت قائم و میرایی همین حرکت را نشان می‌دهند. به جز

در این معادله  $a$  عدد پراش است که به صورت  $a = kl$  تعریف می‌شود. علت انتخاب این پارامتر، وابستگی مقادیر جرم مجازی و میرایی جسم شناور به فرکانس موج است که توسط عبارت  $\gamma$  بی بعد شده است.

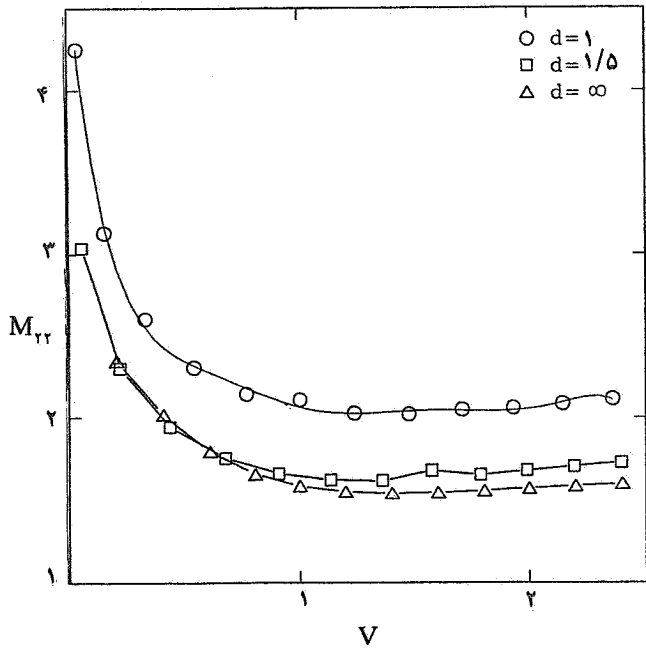
از حل مسئله پراکندگی می‌توان ضرایب نیروی وارد بر دیسک را حساب کرد. شکل (۳) ضریب نیروی افقی وارد بر دیسک شناور را نشان می‌دهد. برای مقادیر کوچک پارامتر فرکانس، نیروی افقی وارد با افزایش عمق کاهش می‌یابد و برای مقادیر بزرگتر این پارامتر (یعنی طول موج کوتاه‌تر)، مقادیر نیرو به سمت نتایج آبهای عمیق



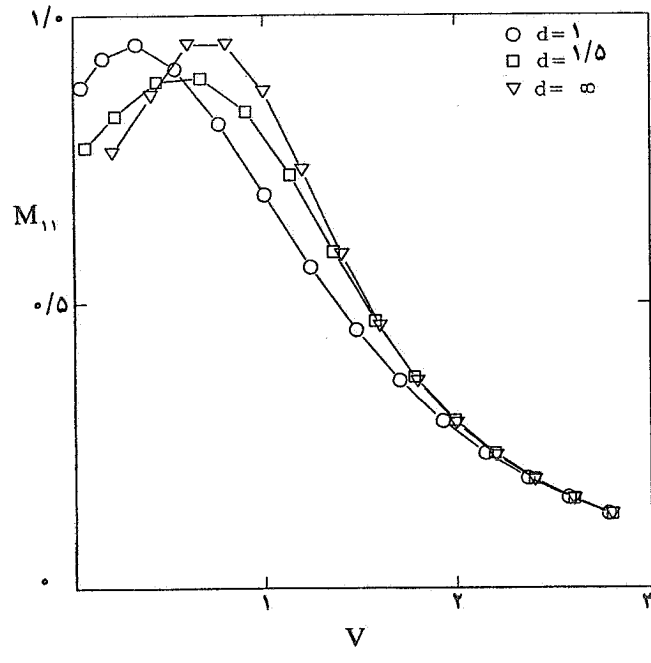
شکل ۷ - ضریب میزانی حرکت افقی دیسک



شکل ۵ - اختلاف فاز بین نیروی افقی با موج برخورده به دیسک  
(برحسب رادیان)



شکل ۸ - ضریب جرم مجازی حرکت قائم دیسک



شکل ۶ - ضریب جرم مجازی حرکت افقی

می شود. اصولاً وجود مرزهای جامد در تزدیگی جسم نوسان کننده باعث اختلال بیشتری در میدان جریان می شود و به موجب آن جرم مجازی افزایش می یابد. در شکل (۸) با افزایش پارامتر عمق، جرم

شکل (۸) در بقیه منحنیها برای مقادیر بزرگ پارامتر فرکانس نتایج مربوط به عمقهای بی بعد  $d=1, 1/5$  به نتایج آبهای عمیق میل می کند. در شکل (۸) اثر پارامتر عمق در جرم مجازی مشاهده

در معادله بالا ضریب  $i^2$  برای حرکت افقی و قائم دیسک به ترتیب ۱ و  $1/2$  است. بنابراین با داشتن ضرایب نیروی وارد به جسم، ضرایب میرایی مستقیماً محاسبه پذیر بوده و با ضریب میرایی مربوط به حل عددی قابل مقایسه‌اند. شکل‌های (۱۰) و (۱۱) در صد خطای نسبی در محاسبه ضریب میرایی حرکتهای افقی و قائم را در حالت  $\omega = 0$  و برای یک دیسک شناور نشان می‌دهند. برای تمامی اعداد پراش به کاررفته در شکل فوق از یک نوع پانلیندی استفاده شده است. همان‌گونه که مشاهده می‌شود با افزایش عدد پراش میزان خطای موجود افزایش می‌یابد. تحت شرایط یاد شده مقدار خطای ماکزیمم در محدوده نشان داده شده برای حرکت افقی  $5\%$  و برای حرکت قائم به  $30\%$  می‌رسد.

علت این موضوع کوچک بودن طول موج برخوردي به سازه در مقایسه با بعد پانل در اعداد پراش بزرگ است [۱]. به علاوه، رشد خطای در مورد حرکت قائم سریعتر از مقدار متناظر در حرکت افقی است. باید دانست که در محاسبه ضرایب مربوط به حرکت قائم، قاعده پایینی دیسک نقش مؤثری دارد و در پانلیندی آن از پانل‌های چندگوش و غیر مربعی استفاده شده است.

### ب) کره شناور

کره شناوری به شعاع ۱ را که بر روی سطح دریا شناور است مطابق شکل (۱۲) در نظر می‌گیریم. محورهای مختصات انتخابی روی سطح دریا قرار دارند و مبدأ آن در مرکز کره است. موج ورودی در امتداد محور  $x$  ها به کره برخورد می‌کند. با استفاده از حل مسائل پراکندگی و تشعشعی ضرایب نیروی وارد بر کره، ضرایب هیدرودینامیکی آن وابستگی آنها به پارامتر فرکانس و پارامتر عمق به دست آمده و در شکل‌های (۱۳) تا (۱۸) ارائه شده است. اگرچه نتایج مربوط به حل مسئله پراکندگی با نتایج کار هاوالوک [۱۰] مطابقت دارد، مجدداً با استفاده از معادله هاسکینند می‌توان صحت هر دو مسئله پراکندگی و تشعشعی را برای کره درآهای عمیق در شکل‌های (۱۹) و (۲۰) ملاحظه کرد. شکل‌های (۱۹) و (۲۰) به ترتیب در صد خطای نسبی در محاسبه ضریب میرایی حرکتهای افقی و قائم کره را در عمق  $\omega = 0$  نشان می‌دهند.

مجازی کاهش می‌یابد. زیاد شدن جرم مجازی در نزدیکی فرکانس صفر نیز تأییدی براین مطلب است. زیرا در این حالت سطح آزاد مانند مرز جامد عمل می‌کند. در حالت حدی که فرکانس موج خیلی کم یا خیلی زیاد شود، هیچ موجی توسط جسم ایجاد نمی‌شود. زیرا معادله سطح آزاد در این دو حالت خاص نمی‌تواند هر دو سرعت‌های افقی و قائم را تأمین کند. در حالت  $\omega = 0$  سطح آزاد به صورت  $\theta = \frac{\partial \phi}{\partial y}$  و سرعت قائم ذرات روی سطح آزاد صفر است. در حالت  $\omega = 0$  نیز سطح آزاد به شکل یک سطح هم پتانسیل  $\varphi = 0$  در می‌آید و سرعت افقی وجود ندارد. این در حالی است که برای تشکیل موجهای جلورونده هردو سرعت‌های افقی و قائم موردنیاز است. در این دو حالت خاص جسم نمی‌تواند موجی را در دور دست پدید آورد و از این راه به شکل موج انتقال دهد. بدین ترتیب انتظار می‌رود که در فرکانس‌های کم و فرکانس‌های زیاد ضریب میرایی به سمت صفر میل کند. این رفتار در شکل‌های (۷) و (۹) مشاهده می‌شود. برای بررسی درستی روش ارائه شده در حل مسئله پراکندگی در حالت کلی، می‌توان از حل تحلیلی مرجع [۴] برای ستونهای دایره ای واقع در مسیر امواج که بر ستر دریا قرار گرفته اند استفاده کرد. نتیجه مقایسه حل عددی ارائه شده با نتایج حل تحلیلی [۴] و نتایج تجربی [۵] در مرجع [۶] آمده است. نتایج حاصل از روش عددی با نتایج حل تحلیلی به خوبی مطابقت دارد و در مقایسه با نتایج تجربی حداکثر ۱۰ درصد خطای رانشان می‌دهد.

نتایج مسئله پراکندگی در مورد نیروی افقی و قائم وارد بر دیسک شناور را می‌توان از طریق حل گارت [۷] نیز بررسی کرد. مبنای حل گارت بهره گیری از بسط سری فوریه برای نمایش پتانسیلهای سرعت است. برای بویه دیسکی شکل، حل تحلیلی برای محاسبه ضرایب هیدرودینامیکی جرم مجازی و میرایی وجود ندارد. با این حال برای اطمینان از صحبت نتایج حاصل از مسئله تشعشعی می‌توان از معادله هاسکینند [۸] استفاده کرد. معادله هاسکینند نیروهای ناشی از موج برخوردی به شناور و ضرایب میرایی را به یکدیگر مربوط می‌کند. نیومن [۹] نشان داد که برای یک جسم تقارن محرکی معادله هاسکینند به صورت زیر نوشته می‌شود:

$$C_{ij} = \frac{a}{4c_i \tanh(ad)} \frac{\sinh(ad)}{2ad + \sinh(ad)} c_i^2 \quad (20)$$

$$i = 1, 2, \dots, 6$$

## ۷- نتیجه گیری

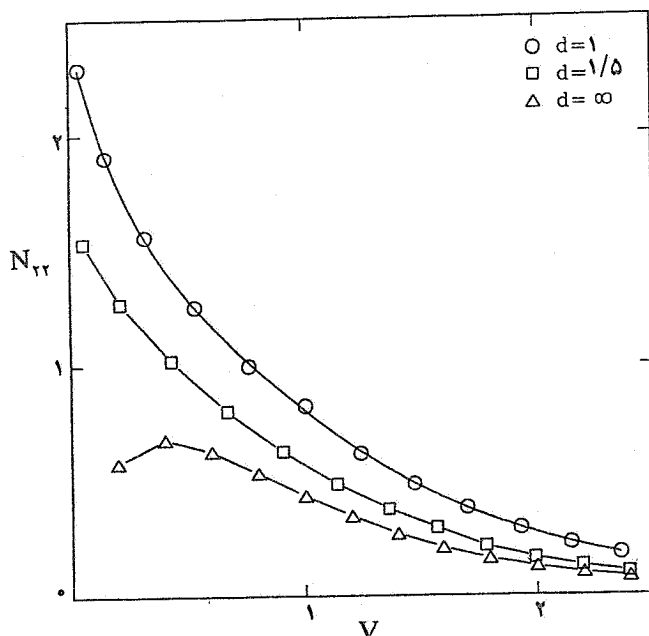
در این پژوهه، با نادیده گرفتن اثر لزجت سیال در مقایسه با برآکنده‌گی امواج برخوردي به سازه، میدان اطراف جسم در حضور امواج به کمک جریان پتانسیل مدل شده است. کاربرد حل عددی برای چندشکل هندسی مختلف ارائه شده و نتایج آن با معادله هاسکیند مقایسه شده است. صحبت خوب تابع حاکی از آن است که می‌توان از تحلیل فوق داموده محاسبه تمامی ضرایب هیدرودینامیکی شناورهای دریایی تحت تأثیر امواج استفاده کرد. باید گفت که محدودیت عمومی روش ارائه شده در نادیده گرفتن اثر لزجت است. هرگاه بعد مشخصه شناور در مقایسه باطول موج برخوردي به سازه بزرگ باشد، این فرض قابل قبول است.

### قدرتانی

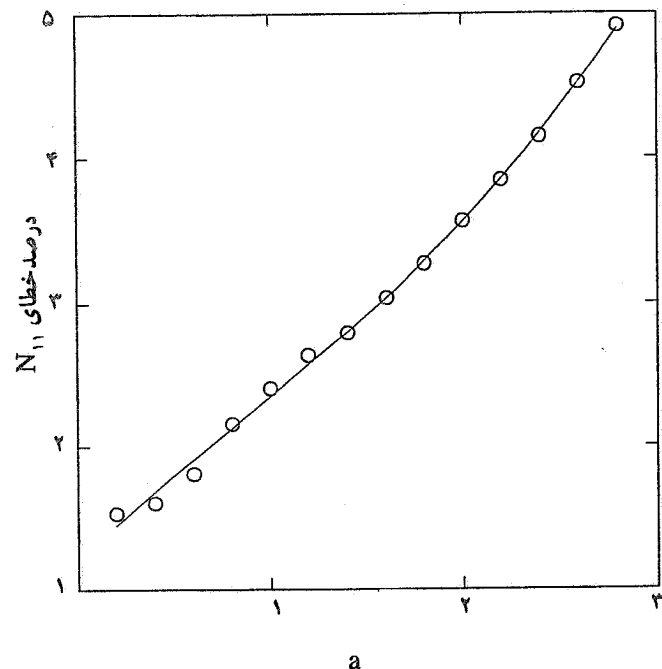
در خاتمه لازم است از پژوهشکده علوم و تکنولوژی زیردریا، وابسته به دانشگاه صنعتی اصفهان، که در طی انجام کار حاضر از امکانات آن بهره‌مند بوده‌ایم کمال تشکر را به عمل آوریم.

### واژه نامه

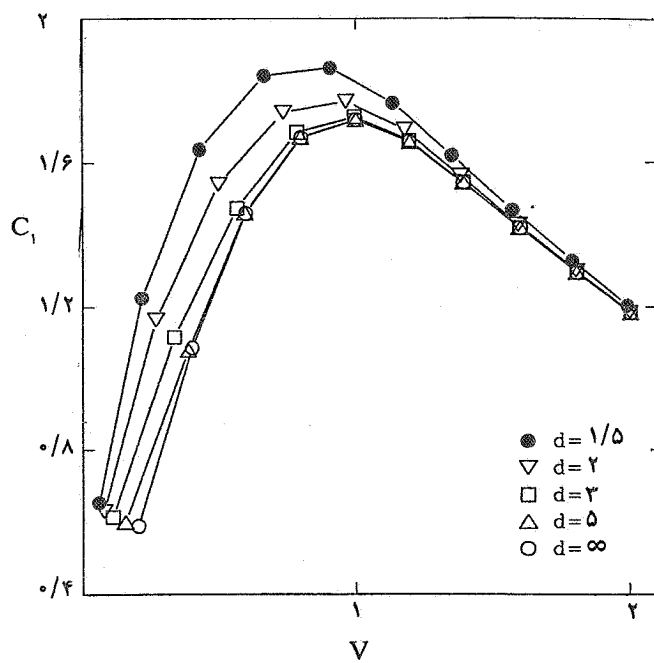
1. incident waves
2. scattered waves
3. marine buoys
4. plane
5. radiation
6. scattering problem
7. radiation problem
8. source and sink
9. added mass
10. damping



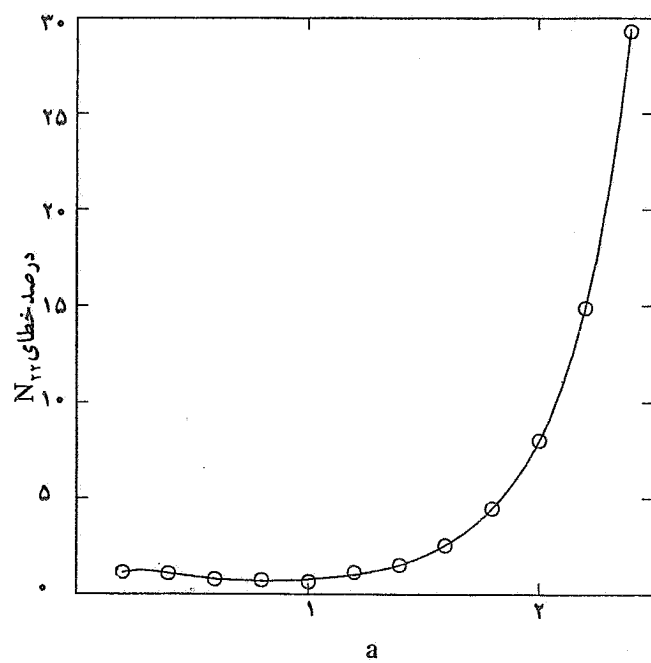
شکل ۹ - ضریب میرایی حرکت قائم دیسک



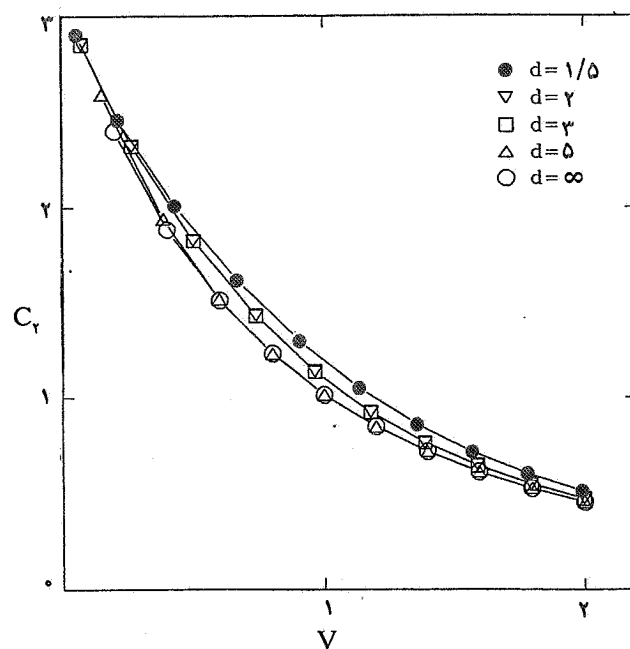
شکل ۱۰ - درصد خطای نسبی در محاسبه ضریب میرایی حرکت افقی



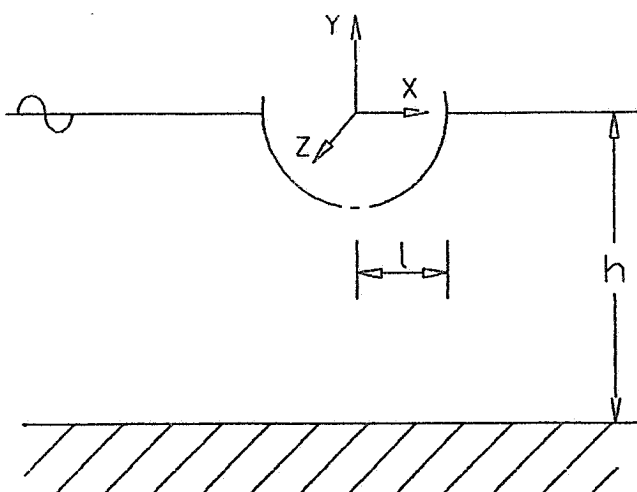
شکل ۱۳ - ضریب نیروی افقی وارد بر کره



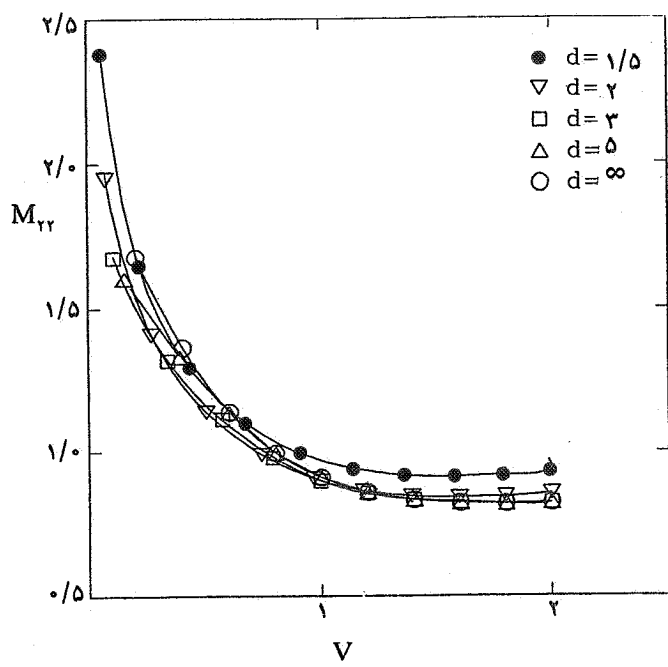
شکل ۱۱ - درصد خطای نسبی در محاسبه میرایی حرکت قائم دیسک



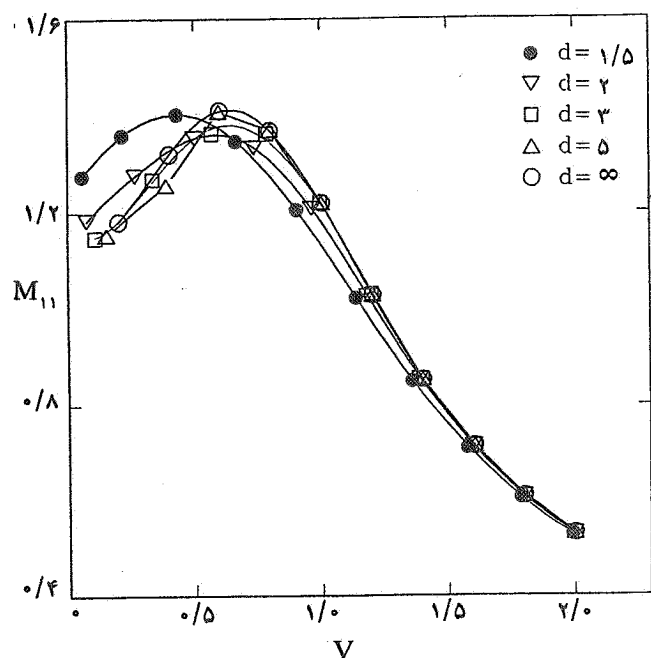
شکل ۱۴ - ضریب نیروی قائم وارد بر کره



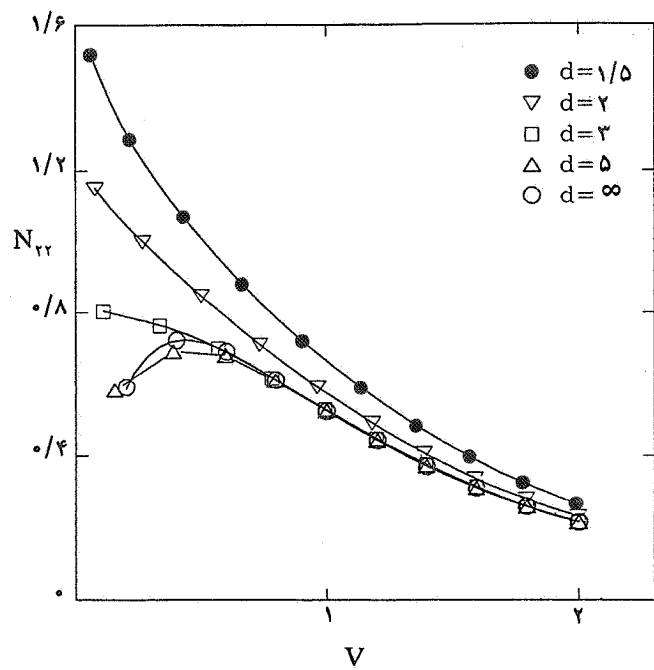
شکل ۱۲ - کره شناور



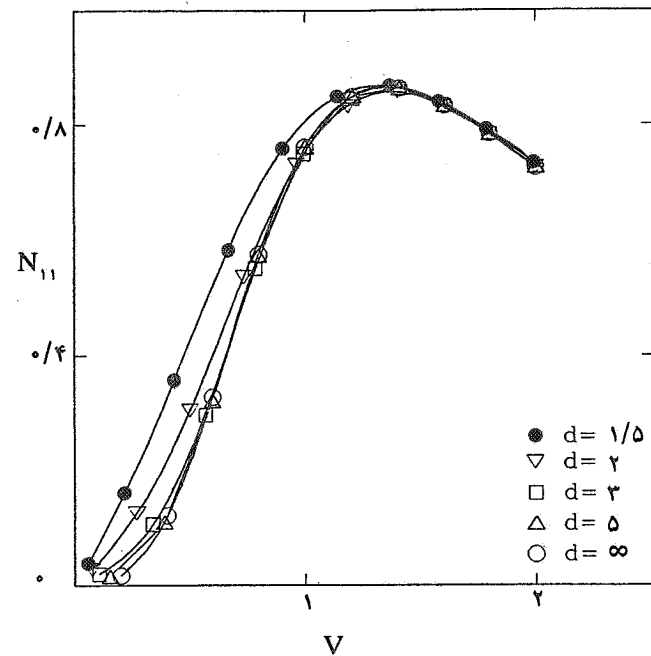
شکل ۱۷ - ضریب جرم مجازی حرکت قائم کره



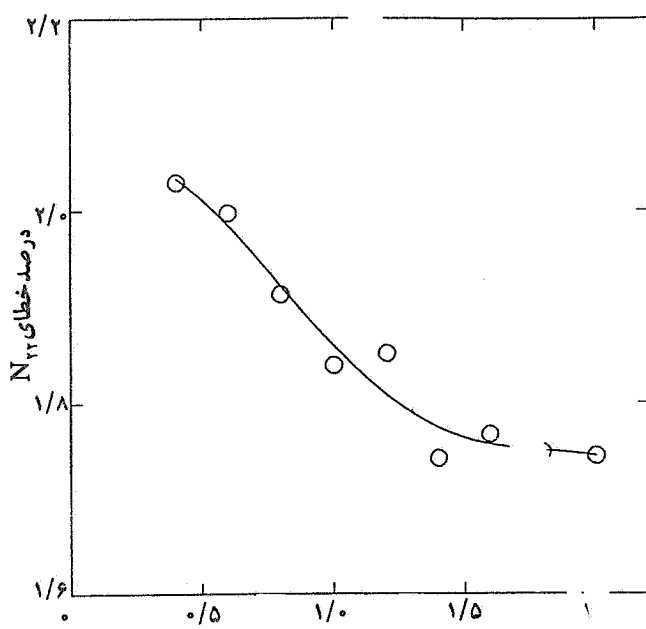
شکل ۱۵ - ضریب جرم مجازی حرکت افقی کره



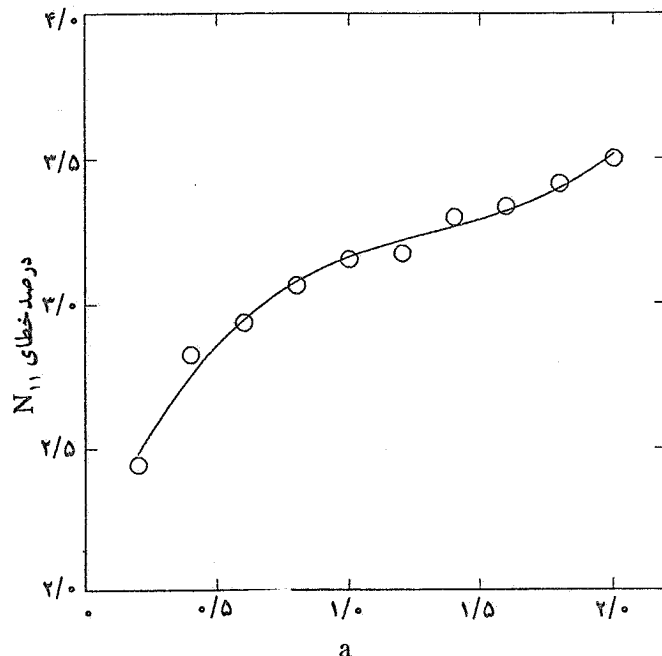
شکل ۱۸ - ضریب میرایی حرکت قائم کره



شکل ۱۶ - ضریب میرایی حرکت افقی کره



شکل ۲۰ - درصد خطای نسبی در محاسبه میرایی حرکت قائم کره



شکل ۱۹ - درصد خطای نسبی در محاسبه ضریب میرایی حرکت افقی کره

## مراجع

۱. زمانی، ار.، "هیدرودینامیک اجسام بزرگ در دریا به کمک توزیع چشمی و چاههای سه بعدی،" رساله کارشناسی ارشد، دانشگاه صنعتی اصفهان، دانشکده مهندسی مکانیک، ۱۳۷۳.
2. Sarpkaya, T., and Isaacson, M., *Mechanics of Wave Forces on Offshore Structures*, 3rd, pp. 381-483, Van Nostrand Reinhold Company, New York, 1984.
3. Wehausen, J.V., and Laitone , E.R., "Surface Waves," *Encyclopedia of Physics*, Vol. 9, Springer-Verlag, Berlin, pp.446-778, 1960.
4. McCamy, R. C., and Fuchs, R. A., "Wave Forces on Piles-a Diffraction Theory," Beach Erosion Board Tech. Mem. No. 69, 1954.
5. Hogben, N., and Standing, R. G., "Experience in Computing Wave Loads on Large Bodies," *Proceedings of the Offshore Tech. Conf.*, Houston, Vol. 2, p. 431, 1975.
- ۶- زمانی، ار. و سعیدی، م.س.، "استخراج ضرایب هیدرودینامیکی سازه‌های شناور یا ثابت به کمک توزیع چشمی و چاههای سه بعدی،" سومین کنفرانس دینامیک شاره‌ها، تهران، دانشگاه صنعتی شریف، ص ۲۴۱-۲۵۷، ۱۳۷۳.
7. Garrett, C. J. R., "Wave Forces on a Circular Dock," *Journal of Fluid Mechanics*, Vol.46, pp. 129-139, 1971.
8. Haskind, J. D., "The Exciting Forces and Wetting of Ship in Waves," (in Russian), Ivestra Akademic Nauk SSSR, Otdelenie Teknicheskikh Nauk, No.7, pp.65-78, 1955.
9. Newman, J. N., "The Exciting Forces on Fixed Bodies on Waves," *Journal of Ship Research*, Vol. 8, pp. 10-17, 1962.
10. Havelock, T., "Waves Due to a Floating Sphere Making Periodic Heaving Oscillations," *Proceedings of Royal Society*, London, 231, Sec.A, 1-7, 1955.